

بررسی اثرات زبری بر کارایی آئرودینامیکی مقطع پره توربین باد

محمد رضا سلطانی (استاد)

دانشکده‌ی مهندسی هواپیما، دانشگاه صنعتی شریف

فرنید عسکری‌سید‌شکری (کارشناس ارشد)

پژوهشکده‌ی شهدید بیزانی

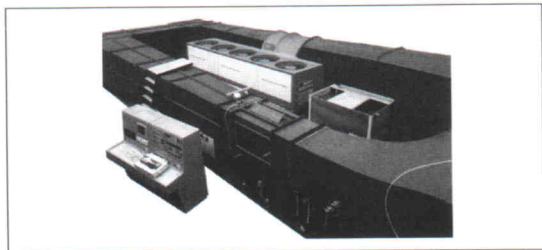
علی بخششی‌پور‌کلخواران (دانشجوی دکتری)

دانشکده‌ی مهندسی هواپیما، دانشگاه صنعتی شریف

به منظور بررسی رفتار آئرودینامیکی مقطع پره توربین‌های باد، آزمایش‌های مختلفی بر روی یکی از مقاطع به کار رفته در پره توربین برق بادی ۶۶^۰ کیلوواتی در رینولدزهای مختلف انجام شده است. اثرات زبری بر توزیع فشار، ضرایب و پارامترهای آئرودینامیکی مقطع در سه عدد رینولدز به دست آمده است. نتایج به دست آمده حاکی از اثرات نامطلوب زبری بر کارایی آئرودینامیکی مقطع، شامل کاهش ضریب برا و افزایش پسا در کلیه‌ی اعداد رینولدز مورد آزمایش است. زبری باعث از بین رفتن نقطه‌ی گذار در زوایای حمله‌ی پایین و افت شدید مقدار ضریب فشار در سطح بالایی، و نیز افزایش ناحیه‌ی جدا شده جریان در زوایای حمله‌ی بالا شده است. افزایش عدد رینولدز موجب افزایش کارایی آئرودینامیکی ایرفویل شده، اما برخلاف انتظار تأثیری بر کاهش اثرات نامطلوب زبری نداشته است. نتایج به دست آمده به طور غیرمستقیم مؤید تشکیل حباب روی سطح بالای ایرفویل در رینولدزهای پایین است. به منظور اعتبارسنجی کدهای مهندسی Eppler و Xfoil نتایج آزمایش‌ها با پیش‌بینی این کدها و نرم‌افزار Fluent مقایسه شده است.

مقدمه

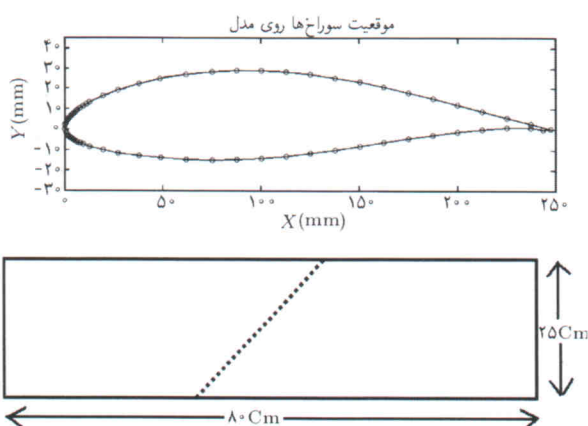
زبری لبه‌ی حمله^۱ ضخامت لایه‌ی مرزی روی پره را زیاد کرده و باعث حرکت نقطه‌ی گذار به سمت لبه‌ی حمله‌ی ایرفویل می‌شود. در نتیجه لایه‌ی مرزی مغشوش و ضخیم‌تر شده، باعث افزایش پسا و کاهش انحنای مؤثر ایرفویل و واماندگی زودرس خواهد شد. در کل می‌توان گفت که زبری اثرات سیار نامطلوبی بر کارایی پره خواهد داشت و مقدار این اثر در کاهش بیشینه‌ی ضریب برا به فلسفه‌ی طراحی ایرفویل و درجه‌ی الودگی روی آن بستگی دارد.^[۴] مقطع مقطع در طول پرهی توربین‌های باد به منظور تحمل بارهای سازه‌ی به شدت تغییر می‌کند، به نحوی که ضخامت مقطع در ریشه‌ی پره‌ها به ۳۰٪ نیز می‌رسد. تاکنون آزمایش‌های زیادی بر روی این نوع ایرفویل‌های ضخیم که در ریشه‌ی پره کاربرد دارند انجام گرفته است.^[۶] با توجه به این که اثرات عواملی همانند «زبری» بهندرت و بسیار اندک بر روی مقاطعی که ضخامت متوسطی دارند بررسی شده است، این تحقیق بر بررسی مقطعی که در قسمت بیرونی پره قرار دارد متمرکز شده است. بررسی‌ها نشان داده است که مقطع پره‌های توربین‌های باد در فاصله‌ی حدود ۷۵٪ شعاع پره از مرکز چرخش بیشترین سهم را در تولید نیرو و گشتاور دارد.^[۷] به همین منظور مقطع ۱۶ متر از یک پره ۲۳/۵ متری مربوط به توربین برق بادی ۶۶^۰ کیلووات که قرار است به زودی در کشور نصب و راهاندازی شود مدل شد و در تونل باد مورد بررسی تجربی قرار گرفت و اثرات پارامترهای مختلفی چون زبری و عدد آئرودینامیکی تأثیرگذشت زمان باعث تجمع لشه‌ی حشرات روی پره آنها می‌شود، بررسی اثرات زبری بر عملکرد و کارایی مقطع پره حائز اهمیت است.



شکل ۱. شماتیک تونل باد.

تونل باد و به طول 80 سانتی‌متر ساخته شده است. با توجه به ارتفاع مقطع کاری تونل، طول وتر 25^5 سانتی‌متر در نظر گرفته شده تا هنگامی که ایرفویل در زوایای حمله‌ی بالا قرار می‌گیرد از خفگی تونل جلوگیری شود. مدل از جنس مرکب ساخته شده است. برای آنکه امکان اتصال لوله‌ای فشار وجود داشته باشد، لازم است این‌گونه مدل‌ها چندتکه ساخته شوند. مدل این آزمایش در ابتدا برای عبور لوله‌های فشار دوتکه ساخته شده و پس از تزریق مواد مرکب به داخل آن به صورت یکپارچه درآمده است.

برای اندازه‌گیری فشار در سطح مدل، سوراخ‌های فشار استاتیکی در محل‌های تعیین شده با قطر داخلی $1/8$ میلی‌متر و قطر خارجی 1 میلی‌متر کاملاً عمود بر سطح ایجاد شده است. تعداد 64 سوراخ فشار بر روی سطح مدل تعییه شده است. چیدمان سوراخ‌ها با توجه به توزیع فشار پیش‌بینی شده توسط نرم‌افزارهای عددی، با تراکم بیشتر در لبه‌ی حمله و حول یک خط مورب با زاویه‌ی 20° درجه در وسط مدل به منظور جلوگیری از تأثیر احتمالی دنباله‌ی جریان ناشی از سوراخ‌ها بر روی یکدیگر در نظر گرفته شده است (شکل ۲). فاصله‌ی لوله‌ی رابط بین سوراخ‌های روی مدل تا سر فشارسنج‌ها حداقل 2 متر است. ضخامت مدل کاملاً صیقلی است و برای شیوه‌سازی اثر زیری بر روی آن از زیری شماره 36 (با قطر اسمی 254 mm ، اینچ) استفاده شده است.



شکل ۲. مدل مورد آزمایش و موقعیت نصب سوراخ‌ها بر روی آن.

رینولدز بر روی آن بررسی شد. لازم به ذکر است که اطلاعات کارایی این توربین‌ها، مثل ضرایب آنرودینامیکی و اثرات ناشی از زیری و ... در دست نیست و صرفاً قرار است این پره‌ها در داخل کشور مونتاژ شوند. لذا بهمنظور بررسی رفتار آنرودینامیکی و کارایی پره برنامه گستردگی، شامل آزمون‌های استاتیکی و دینامیکی مقطع پره، در نظر گرفته شده است. در این نوشتار صرفاً نتایج آزمون‌های استاتیکی مورد بررسی قرار خواهد گرفت. ضرایب آنرودینامیکی به دست آمده همگی ناشی از توزیع فشار حول ایرفویل و دنباله‌ی آن بوده و در انجام آزمایش‌ها از بالنس استفاده نشده است. ضرایب برآ و ممان پیچشی از توزیع فشار حول مدل، و ضریب پسا از توزیع سرعت در دنباله‌ی جریان استخراج شده‌اند. بر روی ضرایب آنرودینامیکی ارائه شده، به علت اثرات دیواره و خفگی تونل^۲ اصلاحاتی اعمال شده است.^[۸] بهمنظور کالیبراسیون کدهای مهندسی برای استفاده از آنها در سایر مقاطع پره، نتایج آزمون با پیش‌بینی انجام شده توسط کدها در مقطع مورد نظر مقایسه شده است. امید است که با استفاده از نتایج این آزمایشات و آزمایش‌های دیگر بتوان کارایی این پره را دقیقاً محاسبه کرد تا پیش‌بینی دقیق‌تری از توان آن حاصل آید.

تجهیزات آزمایش

کلیه آزمایش‌ها در تونل باد مادون صوت مرکز تحقیقات جهاد کشاورزی مرکز فارس انجام شده است. در این آزمایش‌ها از تونل باد، بد D/A-۳۶E-۶۴AT-MIO، ریک، سیستم نقطه‌یابی^۳، ترانسندیوسر فشاری، برداخت اطلاعات و رایانه برای ثبت و پردازش داده‌ها استفاده شده است.

تونل باد

تونل باد مادون صوت مرکز تحقیقات جهاد کشاورزی مرکز فارس که آزمایش‌ها در آن انجام شده دارای محفظه‌ی آزمایش $8 \times 0 / 8 \times 0 / 8 \times 0$ متر مکعب با محدوده‌ی سرعت 10 تا 100 متر بر ثانیه است. این تونل ساخت کارخانه ISI ایتالیا، و از نوع مدار بسته است و ابعاد کلی آن $18 \times 6/5 \times 6/5 \times 3/8$ متر است. قدرت فن 150 کیلووات و سرعت چرخش آن 985 RPM است. دبی جریان هوا بین $6/4$ تا $4/6$ متر مکعب بر ثانیه قابل تنظیم است. شکل ۱ شماتیک تونل باد را نشان می‌دهد.

مدل

مدل ایرفویل مورد آزمایش، مقطع 16 متری شاعع از پره‌ی $23/5$ متری توربین برق بادی 660 کیلووات است، و از آنجاکه آزمون تونل به صورت دو بعدی انجام می‌گیرد دهانه‌ی مدل^۴ هم عرض با دهانه‌ی مقطع کاری

استفاده شده است. ترانسdiوسرهای مورد استفاده از نوع تفاضلی اند و اختلاف فشار نسبی را اندازه‌گیری می‌کنند. ولتاژ تعذیبی و رودی این ترانسdiوسرها 1 ± 8 ولت جریان مستقیم است و هنگامی که در اختلاف فشار دو سر آن صفر باشد، ولتاژ خروجی آن در حدود $3/2$ تا $3/4$ ولت است. زمان پاسخ‌گویی ترانسdiوسرها به تغییرات فشاری 1°C ثانیه است. ولتاژ خروجی ترانسdiوسرها بین ۱ تا ۶ ولت بر حسب اختلاف فشار دوسر تغییر می‌کند. کلیه سیستم‌های منبع تعذیب، نصب و راهاندازی ترانسdiوسرها در حین این پروژه، طراحی و ساخته شده ضمن اینکه قبل از انجام این آزمایشات تمامی ترانسdiوسرها با استفاده از یک ترانسdiوسر بسیار دقیق کالیبره شده‌اند. دقت سیستم طراحی و ساخته شده در آزمایش‌های انجام شده در حدود ۶ پاسکال بوده است.

برد اخذ و پردازش اطلاعات و رایانه
در انجام آزمایش‌ها از یک برد D/A-AT-MIO-64E-۳ در دنباله‌ی جریان یک ریک با دقت 0.01% است. فرکانس داده‌برداری در حین آزمایش 100 هرتز و به مدت 3 ثانیه در هر موقعیت داده اخذ شده است.

سیم داغ^۷

برای اندازه‌گیری شدت تلاطم (آشفتگی) در مقطع کاری تونل از سیم داغ یک مؤلفه و متعلقات آن استفاده شده است. بهمنظر اخذ و پردازش اطلاعات سیم داغ، از یک برد آنالوگ به دیجیتال ۱۶ کاناله‌ی PCL816-HG استفاده شده است. بعد از کالیبراسیون سیم داغ و فیلتر کردن داده‌ها توسط نرم‌افزاری که در این پروژه نوشته شده، شدت تلاطم در مقطع کاری تونل در سرعت‌های مختلف به دست آمده است.

مراحل انجام آزمایش

در این پژوهش آزمایش‌های مختلفی در تونل باد مرکز تحقیقات جهاد کشاورزی شیراز در سه عدد رینولدز $10^6 \times 10^6$ ، $10^6 \times 10^5$ و $10^6 \times 10^4$ انجام شد. در هر حالت، زاویه‌ی حمله مدل از 5° تا 25° درجه با گام‌های 1° و 2° درجه متغیر است. توزیع فشار روی مدل در 64 موقعیت و حول یک خط مورب با زاویه‌ی 20° درجه بهوسیله‌ی حسگرهای فشارسنج اخذ می‌شود. از توزیع فشار حول مدل برای به دست آوردن ضریب برآ و ضریب ممان پیچشی استفاده شده است. بهمنظر کسب ضریب پسا، توزیع سرعت در دنباله‌ی مدل بهوسیله‌ی یک دستگاه ریک اندازه‌گیری شده است. از آنجاکه امکان رسم هم‌زمان

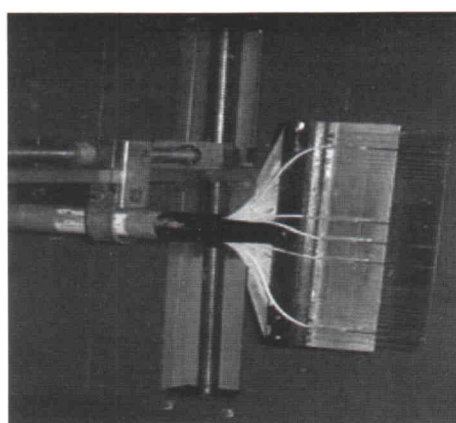
است که بهوسیله‌ی یک چسب دوطرفه به پهنه‌ی $1/5$ سانتی‌متر در نزدیکی لبه‌ی حمله (5% وتر) و بر روی سطح بالایی قرار داده می‌شود. بهمنظر آشکارسازی جریان به سطح مدل رنگ سیاه زده شده که در هنگام استفاده از رنگ فلورسانس در موقع آشکارسازی، بازتابش نور بهتر صورت گیرد. مقطع ایرفویل بهکار رفته در پژوهی این تورین در بعضی از مقاطع مشابه ایرفویل‌های سری NACA ۶ است، اما از لحاظ ضخامت قدری متفاوت است.

ریک^۸

این وسیله برای اندازه‌گیری فشار استاتیک و فشار کل صفحات مختلف تونل به کار گرفته می‌شود. با حرکت دادن ریک در محور طولی و عرضی تونل در صفحات مختلف، می‌توان توپوگرافی سرعت و فشار را در اعداد مختلف رینولدز اندازه‌گیری کرد و تغییرات آنها را در صورت امکان مورد بررسی قرار داد. در این تحقیق، برای اندازه‌گیری توزیع فشار در دنباله‌ی جریان یک ریک با 22 لوله فشار کل و 5 لوله فشار استاتیک (طراحی و ساخته شد. دهانه‌ی ریک ساخته شده برای این آزمایش‌ها 30 سانتی‌متر بوده و تراکم لوله‌ها در وسط دهانه بیشتر است. فاصله‌ی مراکز لوله‌ها در وسط ریک 3 میلی‌متر و در کناره‌ها به 1 سانتی‌متر افزایش می‌یابد. قطر لوله‌های بهکار رفته $2/2$ میلی‌متر و از جنس استیل است. شکل ۳ ریک بهکار گرفته شده در آزمایش‌ها را نشان می‌دهد.

ترانسdiوسرهای فشاری

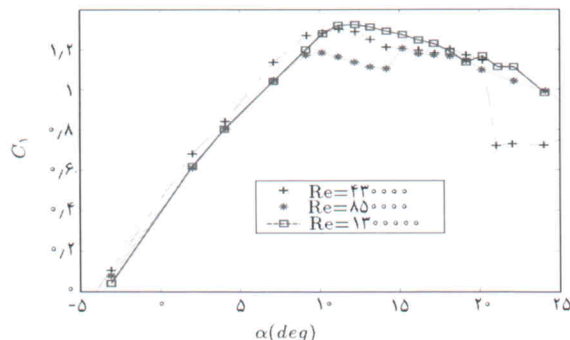
ترانسdiوسرهای مورد استفاده در آزمایش‌ها، 45 عدد از نوع $5D^{\circ}PC$ با محدوده‌ی فشار ± 5 psi، و 25 عدد از نوع $1D^{\circ}PC$ با 143 psi محدوده‌ی فشار ± 1 psi هستند. از ترانسdiوسرهای نوع اول در لبه‌ی حمله و از نوع دوم آن در انتهای مدل (که گرادیان فشار کاهش می‌یابد)



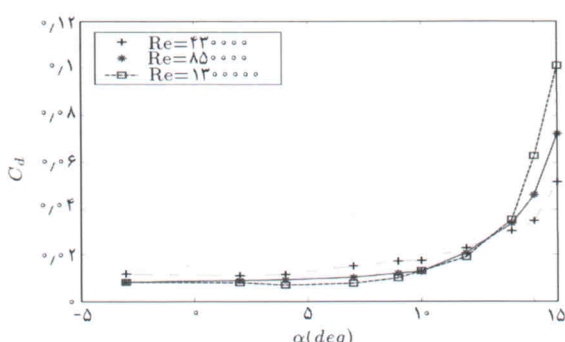
شکل ۳. ریک مورد استفاده در آزمایش‌ها.

که از این شکل پیداست رفتار ایرفویل در رینولدز $10^6 \times 43$ با دو رینولدز دیگر کاملاً متفاوت است. به نظر می‌رسد علت این پدیده در رینولدزهای پایین، تشکیل حباب^۸ در سطح بالایی مدل است که باعث افزایش ضخامت ایرفویل و در نتیجه تغییر انحنای مؤثر شده است. جدایش کامل جریان روی ایرفویل در این عدد رینولدز و در زاویه‌ی حمله^۹ درجه اتفاده است. تغییرات ضریب برآ در رینولدزهای $10^6 \times 85$ و $10^6 \times 1/3$ تا قبل از زاویه‌ی حمله^۹ درجه مشابه است و در زاویه‌ی حمله^۹ بالاتر ایرفویل در رینولدز $10^6 \times 85$ درج اماندگی می‌شود. با افزایش عدد رینولدز به $10^6 \times 1/3$ زاویه‌ی اماندگی حداقل تا ۲ درجه به تعیین افتاده و در نتیجه بیشینه‌ی برآی ایرفویل ۱۰٪ افزایش پیدا کرده است و از $1/19$ در رینولدز $10^6 \times 85$ به $1/33$ در رینولدز $10^6 \times 1/3$ رسیده است.

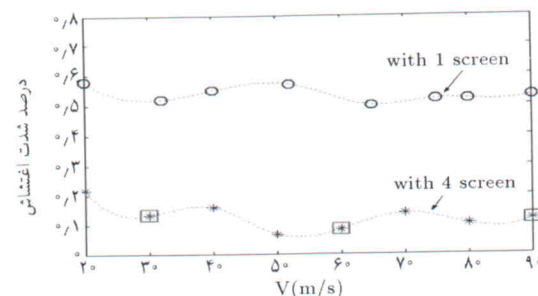
شکل ۶ تغییرات ضریب پسا برحسب زاویه‌ی حمله را در سه عدد رینولدز آزمایش‌ها نشان می‌دهد. به علت وجود حباب و افزایش ضخامت ظاهری مدل در رینولدز $10^6 \times 43$ پسای ایرفویل حداقل ۱۵٪ نسبت به رینولدز $10^6 \times 85$ رشد داشته است. مقایسه‌ی این ضریب در رینولدزهای $10^6 \times 85$ و $10^6 \times 1/3$ نشان می‌دهد که افزایش عدد رینولدز به کاهش ۱۰٪ مقدار پسا در زاویه‌ی حمله‌ی قبل از اماندگی انجامیده است. تأثیر افزایش عدد رینولدز در



شکل ۵. تغییرات ضریب برآ برحسب زاویه‌ی حمله در رینولدزهای مختلف.



شکل ۶. تغییرات ضریب پسا برحسب زاویه‌ی حمله در رینولدزهای مختلف.



شکل ۴. اثر نصب توری‌ها در کاهش شدت تلاطم مقطع.

جدول ۱. شدت تلاطم جریان در مقطع کاری تونل باد بر حسب درصد.

عدد رینولدز	شدت تلاطم (درصد)
۱,۳۰۰,۰۰۰	۰,۰۸۵۰۴
۸۵۰,۰۰۰	۰,۱۳۲۸
۴۳۰,۰۰۰	۰,۱۱۷۵

توزیع سرعت در دنباله (حین آزمایش) وجود داشت، سعی شده است مرکز ریک همواره در مرکز دنباله‌ی جریان قرار داده شود.

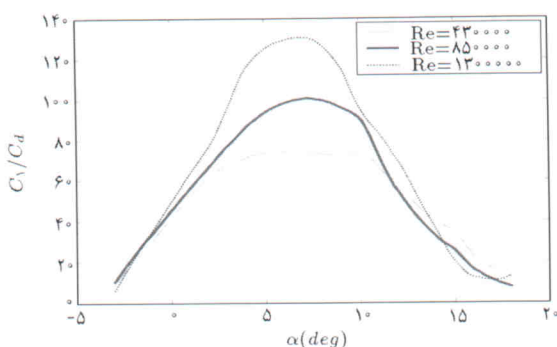
برای بررسی اثرات زبری بر مدل از زبری شماره ۳۶ با قطر اسامی 254 mm اینچ استفاده شده است. این نوع زبری به وسیله‌ی یک چسب دوطرفه به پهنه‌ی $1/5$ سانتی‌متر و در فاصله‌ی 5 mm و تراز لبه‌ی حمله بر روی مدل در سطح بالایی نصب شد. اثرات زبری در سه عدد رینولدز ذکر شده بررسی شده است.

یکی از پارامترهای اثرگذار در نتایج آزمایش‌های تونل باد، شدت تلاطم (آشفتگی) در مقطع کاری است که باعث جابه‌جایی نقطه‌ی گذار روی مدل و تغییر پارامترهای آئرودینامیکی می‌شود. قبل از انجام آزمایش‌ها شدت تلاطم در مقطع کاری تونل اندازه‌گیری شد و نتایج نشان داد که این مقدار بیش از حد استاندارد است. برای کاهش شدت تلاطم در مقطع کاری روش‌های مختلفی وجود دارد. یکی از این روش‌ها، که در این تحقیق نیز مورد استفاده قرار گرفت، قرار دادن توری‌های با شبکه‌ی ریز در قسمتی از تونل و قبل از هم‌گرایی محفظه‌ی جریان و در ناحیه‌ی سرعت پایین است. تونل باد مذکور مجهز به یک عدد توری است و قبل از انجام آزمایش‌ها سه عدد توری دیگر در تونل نصب شد که شدت تلاطم را در مقطع کاری تونل بهشت کاهش داد. شکل ۴ اثر نصب این توری‌ها را بر کاهش شدت تلاطم مقطع کاری نشان می‌دهد.

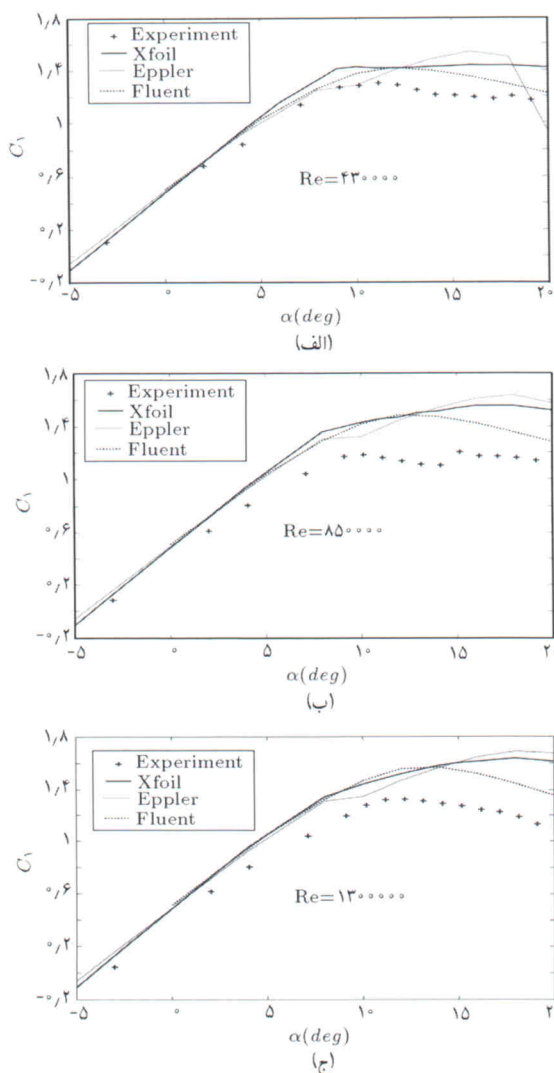
جدول ۱ نشان‌گر شدت تلاطم در داخل مقطع کاری تونل است که به وسیله‌ی سیم‌داغ در سه عدد رینولدز آزمایش‌ها اندازه‌گیری شده است.

نتایج

شکل ۵ تغییرات ضریب برآ برحسب زاویه‌ی حمله را در سه عدد رینولدز $10^6 \times 43$ ، $10^6 \times 85$ و $10^6 \times 1/3$ نشان می‌دهد. همان‌طور



شکل ۷. تغییرات نسبت برآ به پسا در رینولدزهای مختلف.



شکل ۸. مقایسه ضریب برآ با پیش‌بینی کدهای مهندسی.

تأثیری در کاهش اثرات نامطلوب زبری بر ایرفویل ندارد و این اثرات در رینولدز $10^6 \times 1/3$ بسیار شدید است.

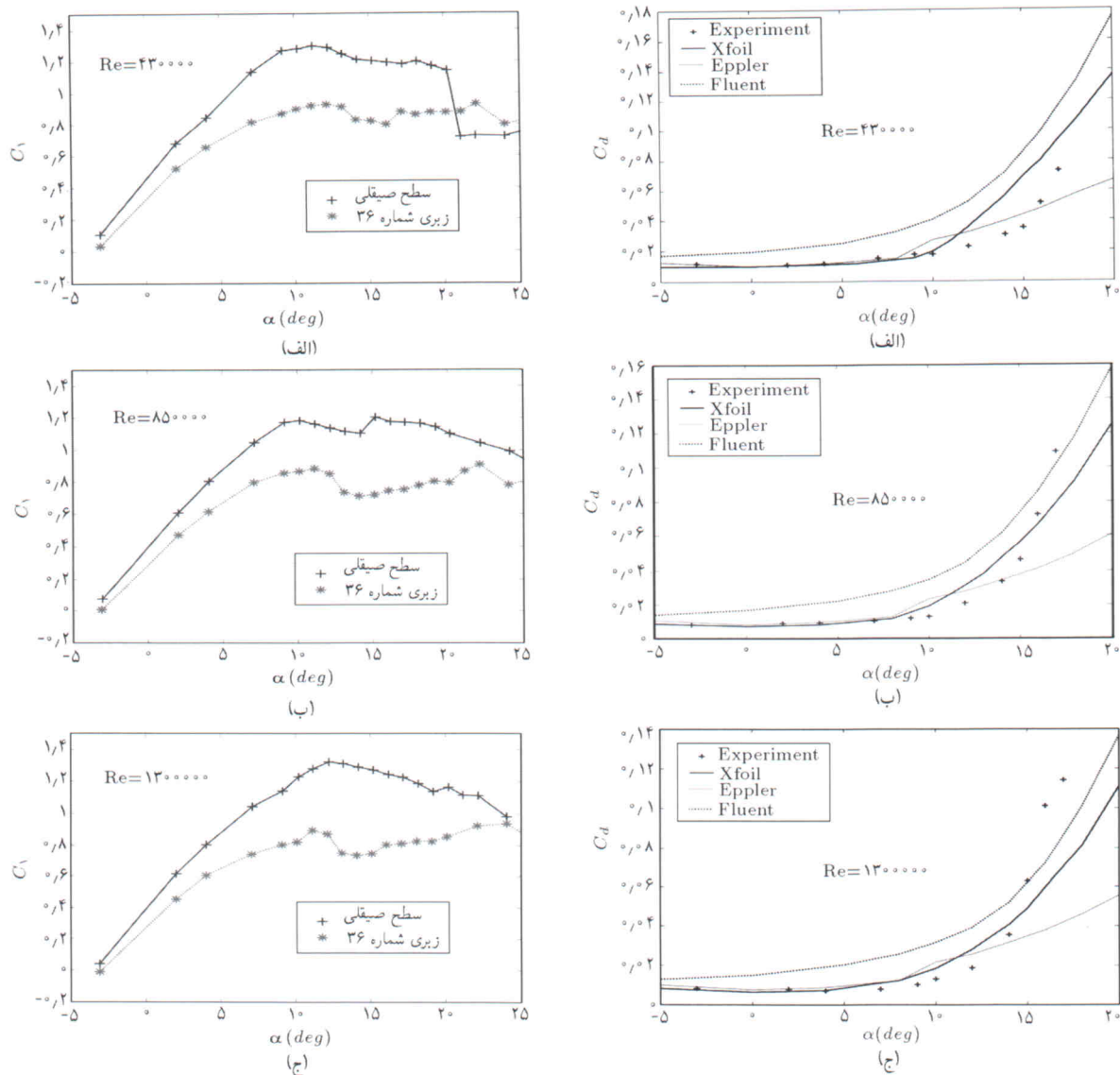
شکل ۱۱ اثر زبری شماره ۳۶ را بر روی مقدار ضریب پسا نشان می‌دهد. تأثیر بسیار شدید زبری بر ضریب پسا کاملاً مشخص است و

کاهش ضریب پسا در زوایای حمله‌ی قبل از واماندگی کاملاً مشهود است.

شکل ۷ تأثیر عدد رینولدز بر نسبت ضریب برآ به پسا را نشان می‌دهد. این نسبت در رینولدزهای $10^6 \times 1/3$ ، $10^6 \times 85/43$ و $10^6 \times 130/43$ به ترتیب به ۷۵، ۱۰۰ و ۱۳۰ می‌رسد که نشان از تأثیر مطلوب افزایش عدد رینولدز بر کارایی آتزودینامیکی مقطع دارد. در شکل‌های ۸ و ۹ ضریب برآ و پسا با پیش‌بینی انجام شده توسط کدهای مهندسی Fluent، Eppler و Xfoil مقایسه شده است. این مقایسه نشان می‌دهد که پیش‌بینی بیشینه‌ی ضریب برآ برای مدل بسیار مشکل است و در زوایای قبل از واماندگی نیز مقادیر پیش‌بینی شده بیش از نتایج تجربی است. و با افزایش عدد رینولدز این اختلاف افزایش پیدا می‌کند. هرچند که ضریب برآ را بهتر پیش‌بینی Xfoil می‌کند. لازم به ذکر است که پیش‌بینی کدهایی مانند Eppler و Xfoil در رینولدزهای پایین دقت خوبی دارند. شکل ۸ نشان می‌دهد که با افزایش عدد رینولدز خطای پیش‌بینی ضریب برآ توسط کدها، حتی در زوایای حمله‌ی پایین، نیز افزایش می‌یابد. پیش‌بینی صورت گرفته توسط کدهای مهندسی در مورد ضریب پسا در زوایای قبل از واماندگی در رینولدزهای $10^6 \times 85/43$ و $10^6 \times 130/43$ مطابقت خوبی با نتایج تجربی دارد و خطای آن کمتر از ۵٪ است. پیش‌بینی ضریب پسا در رینولدز $10^6 \times 85/43$ تا حدودی کمتر از مقدار واقعی است. همان‌طور که اشاره شد تشکیل حباب در این عدد رینولدز باعث افزایش پسا شده است و کدهای مهندسی قادر به تشخیص حباب نیستند. در تیجه مقدار پیش‌بینی کمتر از میزان واقعی است. لازم به ذکر است پیش‌بینی ضریب پسا توسط کدهای عددی به نوع شبکه و روش مورد استفاده، به علت لایه‌ی مرزی لرج، بسیار وابسته است. شبکه‌ی بهکار رفته در مورد این مسئله از نوع باسازمان و با ۲۵ هزار حجم محدود و روش مورد استفاده مدل آشتفتگی یک معادله‌ی اسپالارت - الماراس است. بنابراین به نظر می‌رسد که برای پیش‌بینی کارایی این ایرفویل و تعیین پیش‌بینی توان پره توربین نیازمند به انجام آزمایشات در تونل باد است.

تأثیر زبری

شکل ۱۰ تأثیر زبری شماره ۳۶ را بر روی مقدار ضریب برآ در رینولدزهای مختلف نشان می‌دهد. زبری باعث افت ۲۷ درصدی بیشینه‌ی ضریب برآ در رینولدز $10^6 \times 85/43$ ، ۲۵ درصد در رینولدز $10^6 \times 130/43$ و ۳۳ درصد در رینولدز $10^6 \times 100/43$ شده است. زبری همچنین سبب تعویق واماندگی در رینولدزهای $10^6 \times 85/43$ و $10^6 \times 130/43$ شده است. برخلاف انتظار، افزایش عدد رینولدز

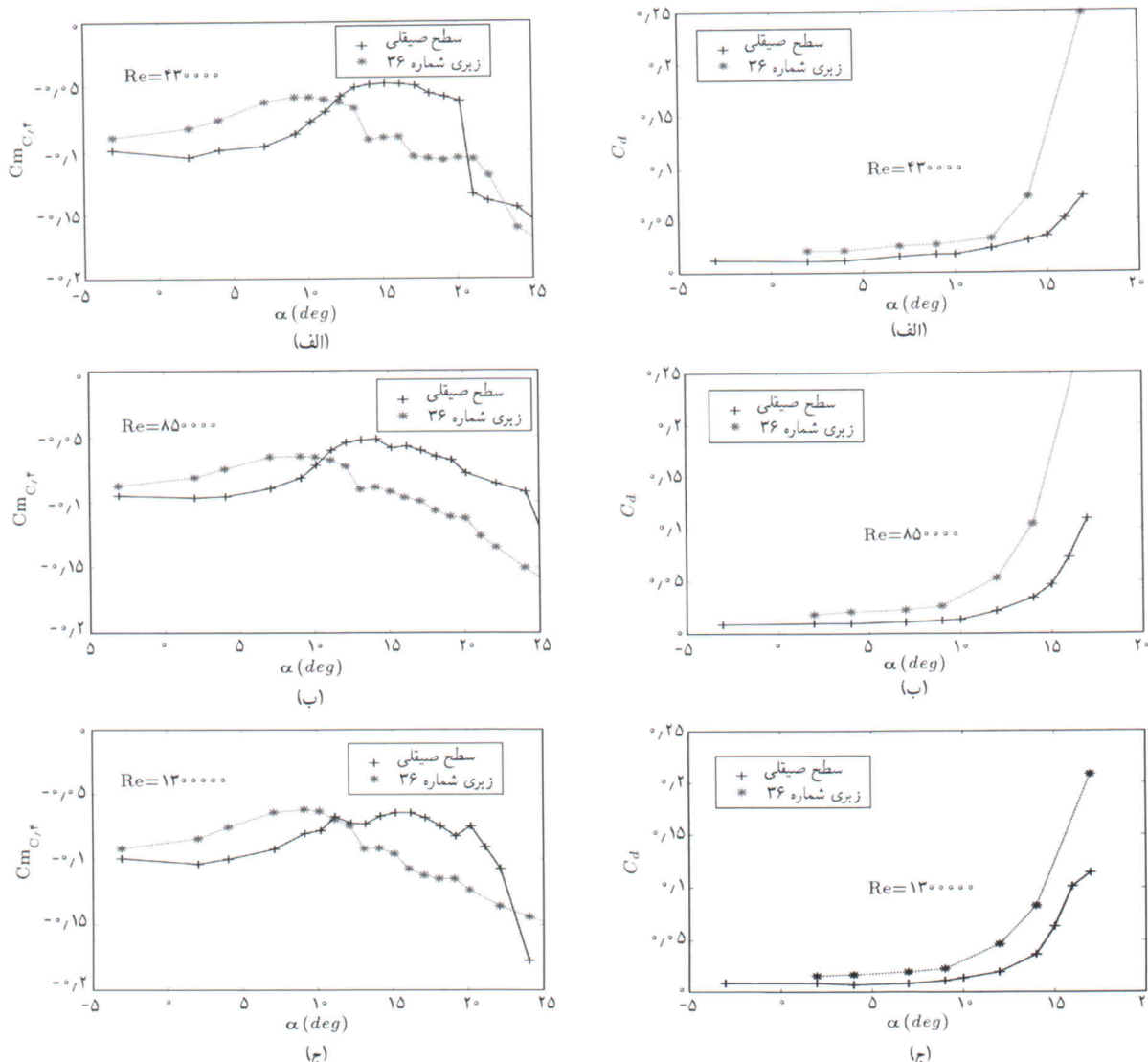


شکل ۱۰. تأثیر زیری شماره‌ی ۳۶ بر روی ضریب برا در رینولدزهای مختلف.

ضریب برا، ممان پیچشی حول 25% وتر در زوایای قبل از واماندگی به واسطه‌ی زیری کاهش پیدا می‌کند اما بعد از واماندگی این اثر معکوس می‌شود. تغییرات برحسب زاویه‌ی حمله تقریباً ناچیز است. شکل‌های ۱۴ تا ۱۶ اثر زیری بر توزیع فشار حول ایرفویل را در رینولدزهای $10^6 \times 43 \times 10^6 / 43 \times 10^6 / 85 \times 10^6$ و هریک را در چهار زاویه حمله‌ی $2^\circ, 7^\circ, 12^\circ, 17^\circ$ درجه نشان می‌دهند. زیری باعث افت شدید بیشینه‌ی ضریب فشار روی سطح بالایی مدل و افزایش ناحیه‌ی جریان جدا شده در زوایای حمله‌ی بالا شده است. افزایش ناحیه‌ی جدا شده‌ی جریان به واسطه‌ی زیری در زوایای حمله‌ی 12° و 17° درجه کاملاً مشخص است. در حالی که جریان در رینولدز $10^6 \times 43 \times 10^6 / 43 \times 10^6 / 50^\circ$ در زاویه حمله‌ی 17° درجه از 50% سطح بالایی جدا شده بر اثر زیری به 75% افزایش یافته، سطح جدا شده‌ی جریان در

باعث افزایش دست کم 40% درصدی پسا در زوایای حمله پایین شده است. به منظور درک بهتر اثرات زیری بر کارایی آئرودینامیکی مقطع، نسبت ضریب برا به پسا مقیاس خوبی است. شکل ۱۲ اثر زیری بر این نسبت برای حالت ایرفویل با سطح صاف و صیقلی در رینولدزهای مختلف از 75° تا 130° تغییر می‌کند، وجود زیری این نسبت را به در رینولدز $10^6 \times 43 \times 10^6 / 43 \times 10^6 / 40^\circ$ تا حداقل 40° در رینولدز $10^6 \times 43 \times 10^6 / 3$ کاهش داده است. در واقع زیری اثر مطلوب افزایش عدد رینولدز در بهبود کارایی ایرفویل را از بین برده است.

شکل ۱۳ اثر زیری بر روی ضریب ممان پیچشی حول 25% وتر را نشان می‌دهد. به طور کلی زیری باعث حرکت مرکز فشار به سمت لبه‌ی فرار مدل می‌شود، اما به سبب افت شدید در توزیع فشار و کاهش

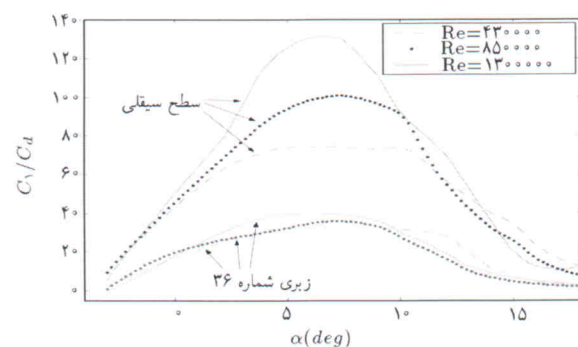


شکل ۱۳. تأثیر زبری بر ضریب ممان پیچشی حول 25% وتر در رینولدز $1/3 \times 10^6$.

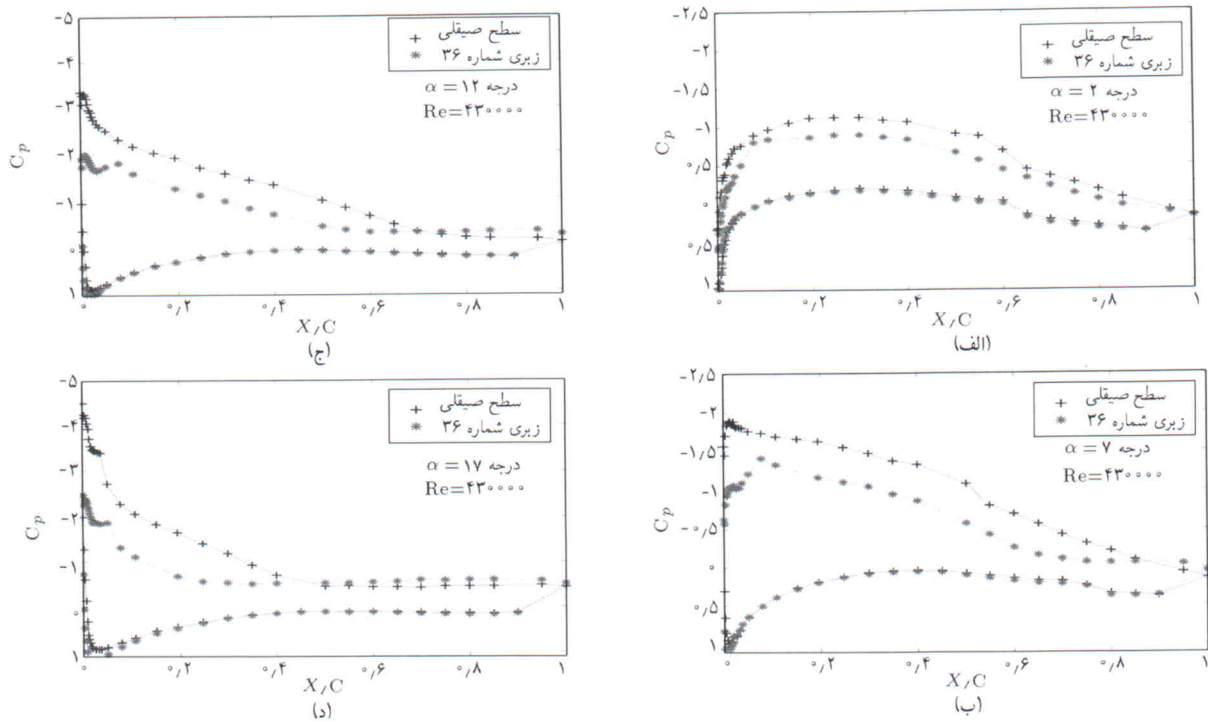
ضریب فشار حول ایرفویل با سطح صاف و صیقلی در زوایای حمله‌ی بالا به راحتی به -5° رسید اما این مقدار براز زبری به -3° کاهش یافته است. در زوایای حمله‌ی 2° و 7° درجه می‌توان موقعیت نقطه‌ی گذار در سطح بالانی ایرفویل را از نمودارهای توزیع فشار تشخیص داد. زبری باعث از میان رفتن این نقطه شده است. در واقع می‌توان گفت زبری ناحیه‌ی جریان آرام روی مدل را از میان برد و جریان در تمام سطح بالانی مغشوش است. زبری بر توزیع فشار در سطح پایین تأثیری نداشته است.

همان طور که ذکر شد یکی از متداول‌ترین روش‌ها برای پیش‌بینی توان خروجی توربین‌های باد روش BEM است و لازمه‌ی استفاده از این روش دسترسی به جدولی از پارامترهای آئرودینامیکی مقاطع رینولدزهای $10^6 \times 85^\circ / 10^\circ$ و $10^6 \times 1^\circ / 3^\circ$ به واسطه‌ی زبری از حدود 80° به 60° در زاویه حمله‌ی 17° درجه افزایش پیدا کرده است.

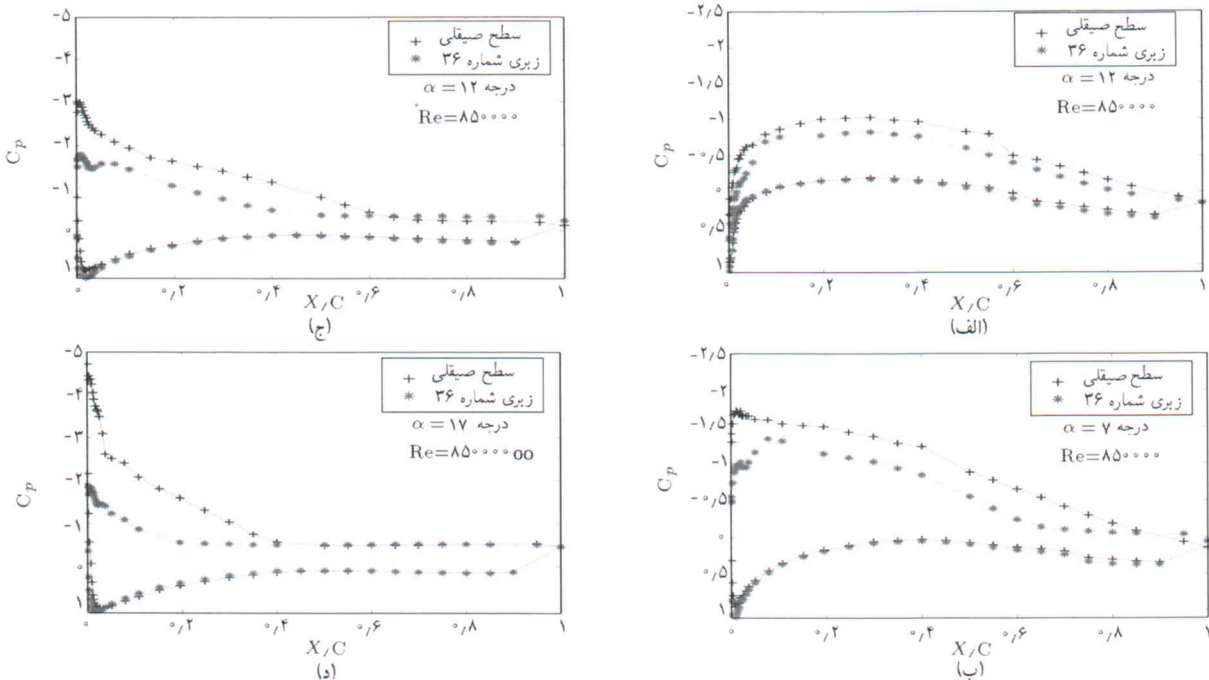
شکل ۱۱. تأثیر زبری شماره ۳۶ بر روی ضریب پسا در رینولدزهای مختلف.



شکل ۱۲. تأثیر زبری بر روی نسبت ضریب برآ به پسا در رینولدزهای مختلف.



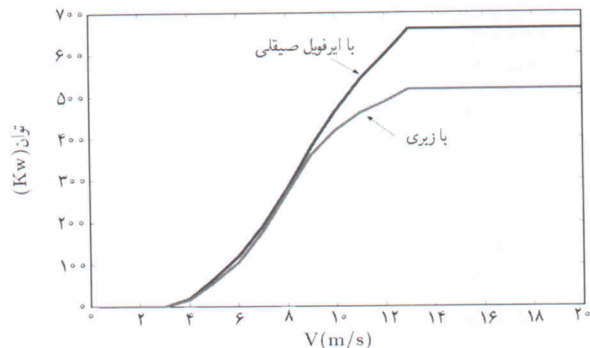
شکل ۱۴. اثر زبری بر توزیع فشار حول مدل در زوایای مختلف حمله و در رینولدز $۰/۴۳ \times ۱۰^۶$.



شکل ۱۵. اثر زبری بر توزیع فشار حول مدل در زوایای مختلف حمله و در رینولدز $۰/۸۵ \times ۱۰^6$.

مشهور برای پیش‌بینی توان توربین‌ها است اما به دلیل محدودیت‌های زیاد و نبودن برنامه‌ی مرجع آن مجبور شدیم نرم‌افزاری را از ابتدا براساس روش BEM بنویسیم و به منظور صحت عملکرد آن با نتایج کد Selig (مانند کد (M. Selig) اعتبارسنجی شده است. این نرم‌افزار که در شبکه نیز به صورت فایل اجرایی موجود است، یکی از نرم‌افزارهای

بکار رفته در طول پره است. بهمین منظور کدی نوشته می‌شود که با استفاده از این روش کار می‌کند، و با مقایسه‌ی آن با سایر کدهای توربین باد (مانند کد (M. Selig) اعتبارسنجی شده است. این نرم‌افزار که در شبکه نیز به صورت فایل اجرایی موجود است، یکی از نرم‌افزارهای

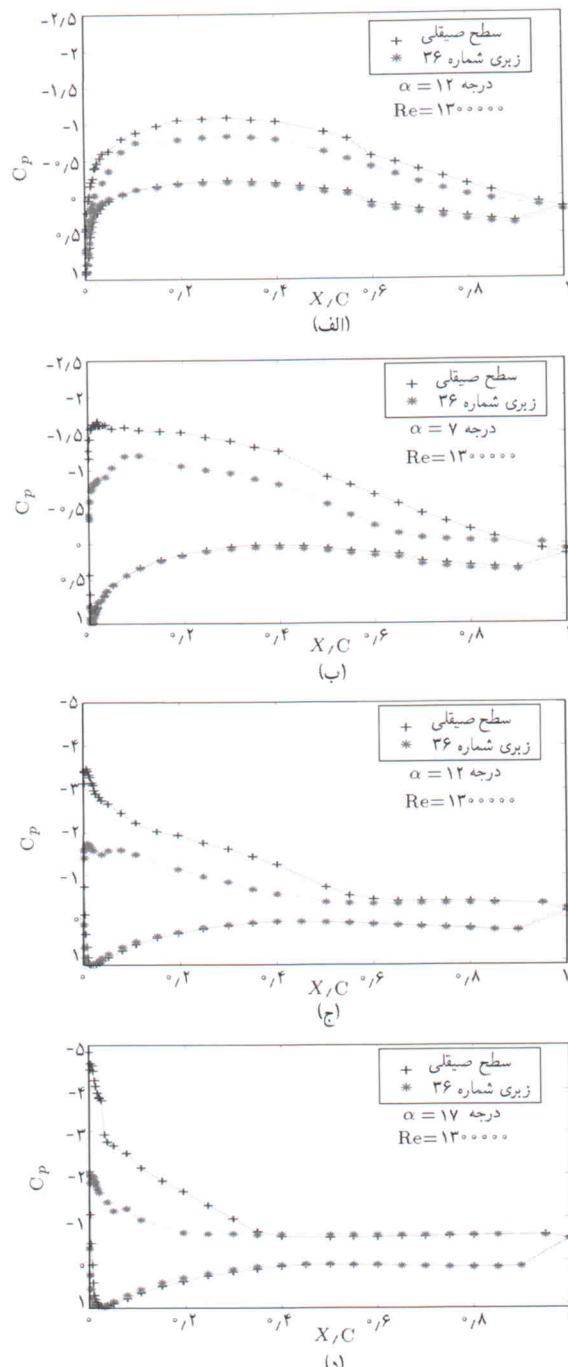


شکل ۱۷. اثر زبری بر توان توربین باد.

از کد نوشته شده‌ی توان توربین بر حسب سرعت باد، و با این فرض که پره در تمامی مقاطع آن از همین ایرفویل مورد آزمایش استفاده شده در شکل ۱۷ نشان داده شده است. همان‌طور که در این شکل نشان داده شده است، زبری باعث افت قابل ملاحظه‌ی بیشینه‌ی توان به مقدار حداقل ۲۰٪ شده است. با توجه به این اثر، ضرورت تمیز نگه داشتن پره توربین‌های باد که در شرایط کاری در معرض آلودگی قرار می‌گیرند بیش از پیش مشخص می‌شود.

نتیجه‌گیری

در این تحقیق آزمایشات مختلفی برای اندازه‌گیری توزیع فشار، پروفیل دنباله‌ی جریان، آشکارسازی جریان و بررسی اثرات زبری با توجه به عدد رینولدز و زاویه‌ی حمله روی مقطع پره توربین برق بادی در تونل باد مرکز جهاد کشاورزی شیار انجام شد. میدان جریان اطراف این مدل با اندازه‌گیری توزیع فشار کل در زوایای حمله م مختلف به وسیله ریک مورد بررسی قرار گرفت. نتایج با پیش‌بینی صورت گرفته توسط کدهای مهندسی مقایسه شده است. نحوه تغییرات ضرایب یا زاویه‌ی حمله، مؤید تشکیل حباب روی سطح بالا در رینولدزهای پایین است. نتایج به دست آمده حاکی از اثرات نامطلوب زبری بر کارایی آتودینامیکی ایرفویل، کاهش ضریب برآ و افزایش پسا است. زبری باعث کاهش شدید بیشینه‌ی ضریب توزیع فشار حول سطح بالایی، از میان رفته نقطه‌ی گذار و افزایش ناحیه‌ی جدا شده‌ی جریان در زوایای حمله بالا شده است.



شکل ۱۶. اثر زبری بر توزیع فشار حول مدل در زوایای مختلف حمله و در رینولدز $1/3 \times 10^6$.

پانوشت

1. leading edge roughness
2. wind blockage
3. traversing system
4. span
5. chord
6. rake

7. hot wire
8. bubble

منابع

1. Wallker, J, "Wind energy technology", John Wiley & Sons, Inc. (July 1997).
2. Dan M. Sommers, James L. Tangler, "Wind-

- Tunnel tests of two airfoils for wind turbines operating at high reynolds numbers”, Presented at the *ASME Wind Energy Symposium Reno, Nevada*, January 10.13, (2000).
3. J. M. Janiszewska, R. Reuss Ramsay, J. D. Lee, G. M. Gregorek, “Effects of grit roughness and pitch oscillations on the L303 airfoil”, *National Renewable Energy Laboratory* (February 1999).
 4. W.A. Timmer, A.P. Schaffarczyk, “The effect of roughness at high reynolds umbers on the performance of DU 97-W-300Mod”, *Delft University Wind Energy Institute* (2004).
 5. Christian Bak, Peter Fuglsang, Niels N. Sorensen, Helge, “Airfoil characteristics for wind turbines”, *Riso National Laboratory, Roskilde* (March 1999).
 6. J. M. Janiszewska, R. Reuss Ramsay, J. D. Lee, G. M. Gregorek, “Effects of grit roughness and pitch oscillations on the L303 airfoil”, *The Ohio State University* (1999).
 7. Warren F. Phillips, “Mechanics of flight”, John Wiley & Sons, Inc. (2004).
 8. William H.Rae, Jr. & Alan Pope, “Low-Speed wind tunnel testing”, John Wiley & Sons, Inc (1984).